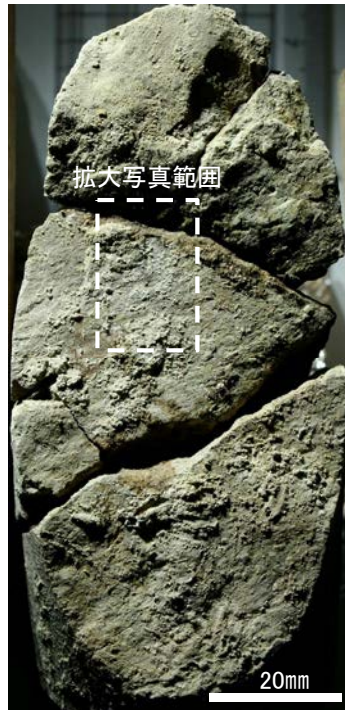
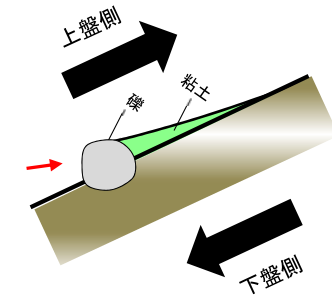
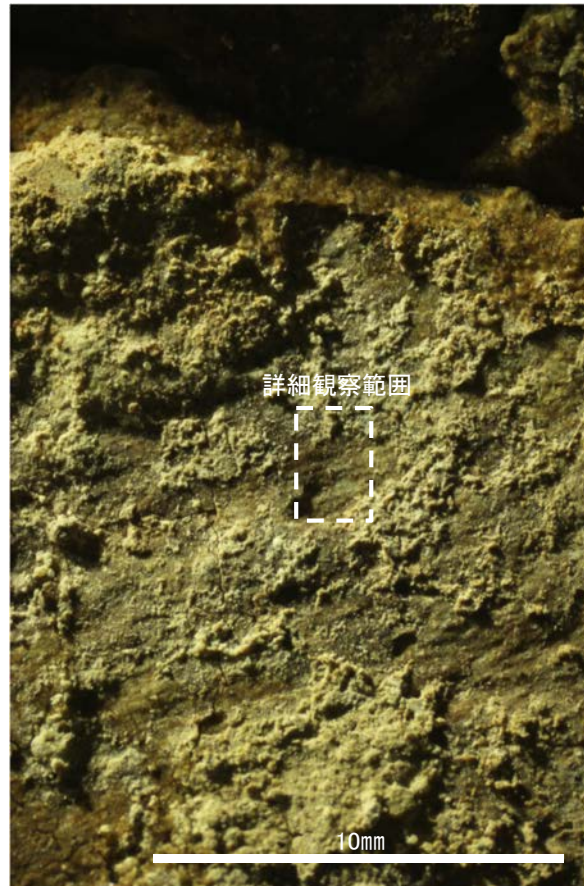


概念図
※走向は真北で示す。

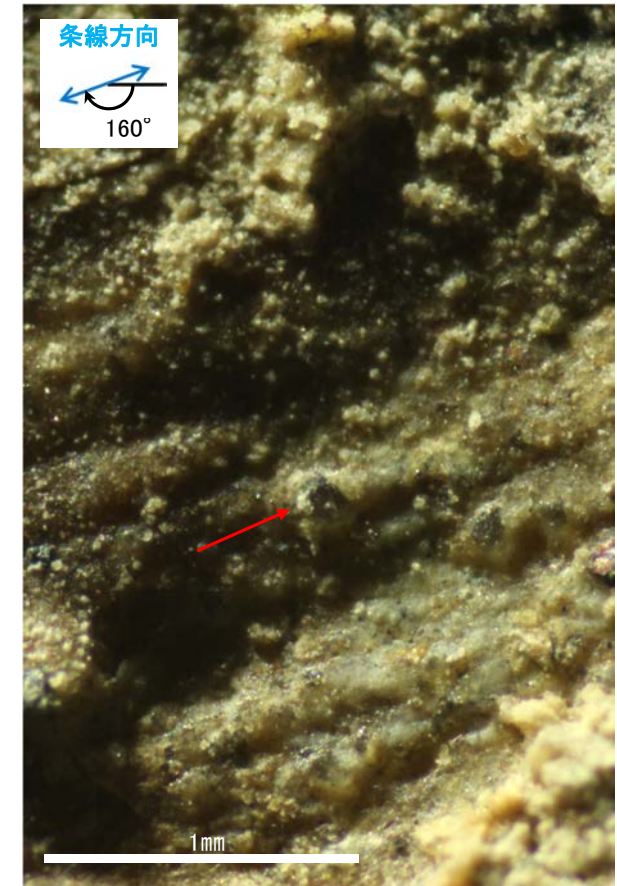
条線方向及び礫周りの粘土の非対称構造から、逆断層センスを示す。



観察面写真

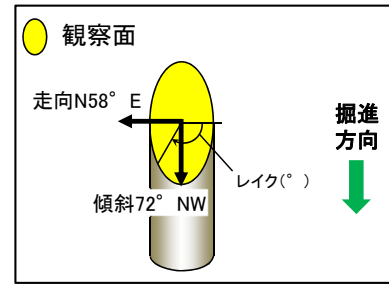


観察面拡大写真

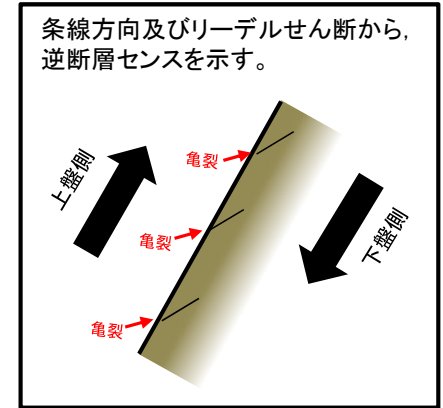


詳細観察写真

・条線のレイクは160° R, 変位センスは左横ずれ逆断層センス



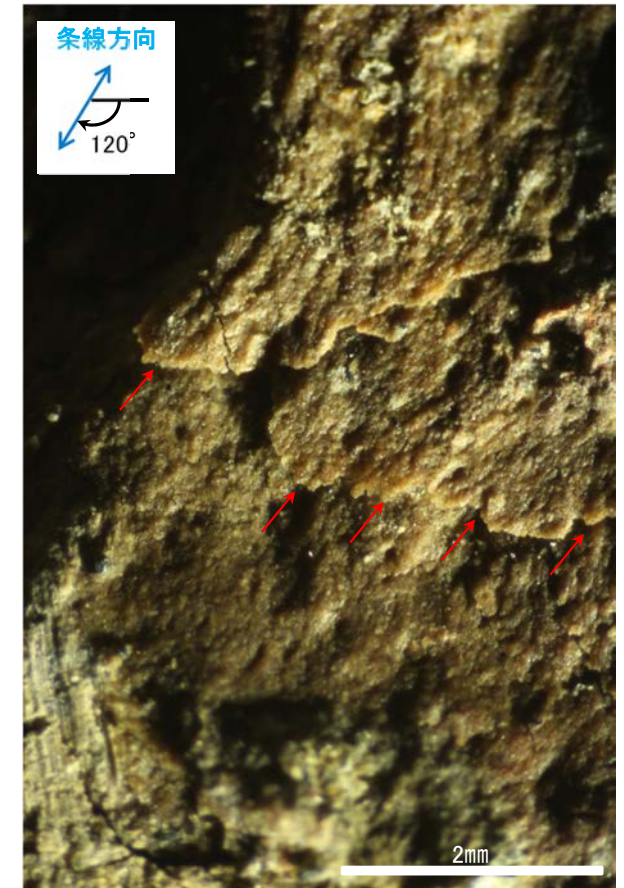
概念図
※走向は真北で示す。



観察面写真

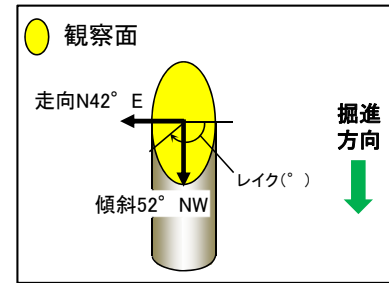


観察面拡大写真



詳細観察写真

・条線のレイクは120° R, 変位センスは左横ずれ逆断層センス

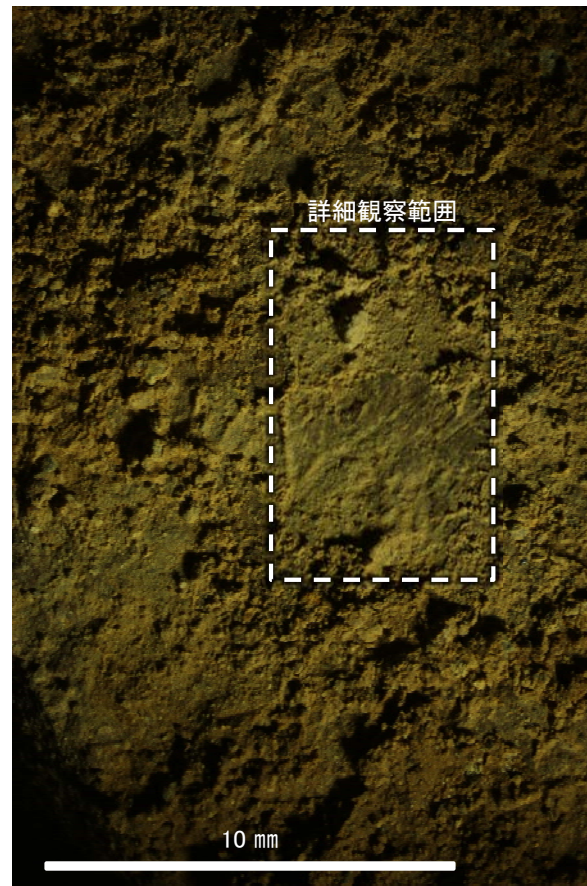


概念図

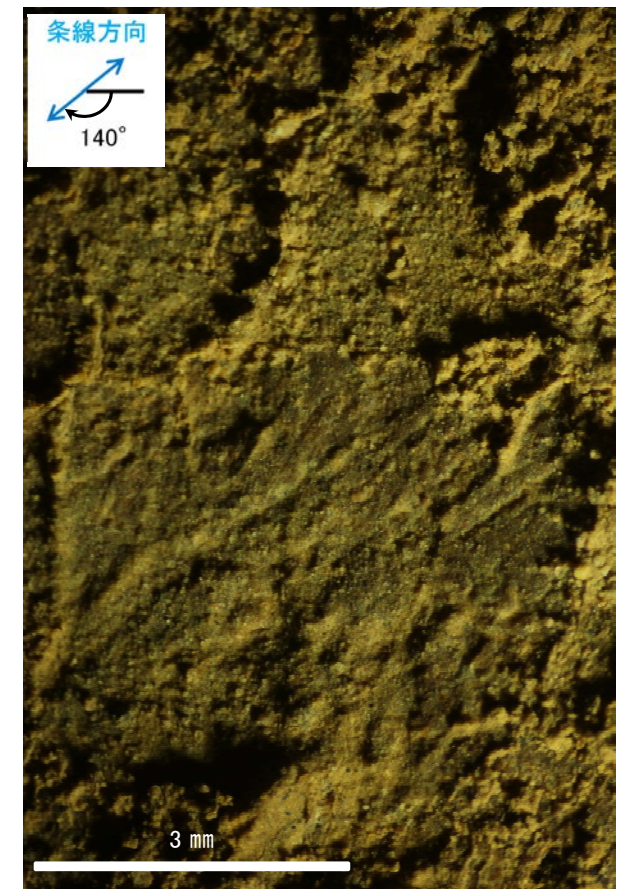
※走向は真北で示す。



観察面写真

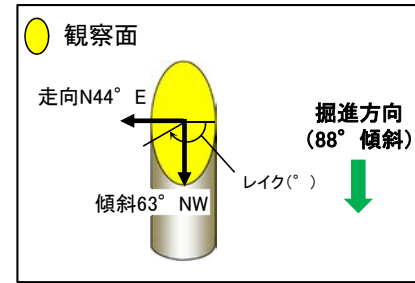


観察面拡大写真



詳細観察写真

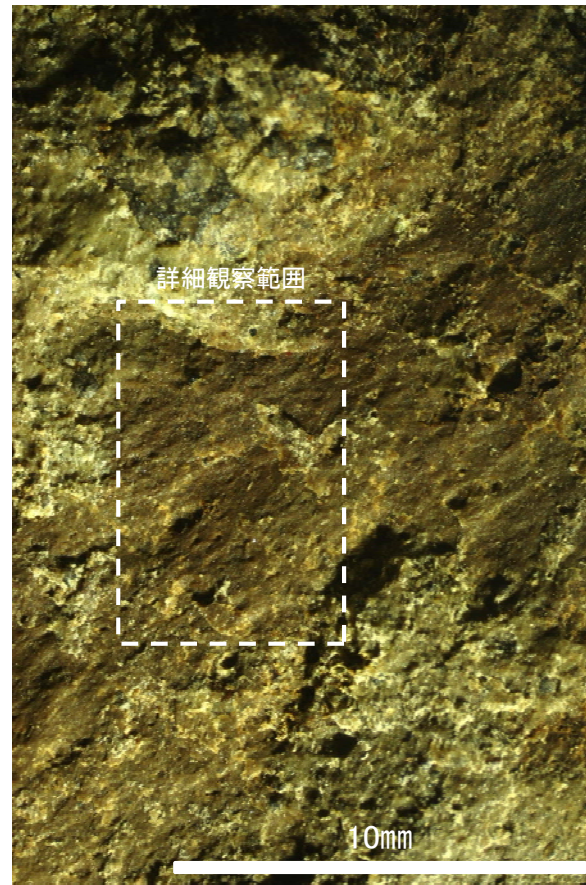
・条線のレイクは140° R, 変位センスは不明



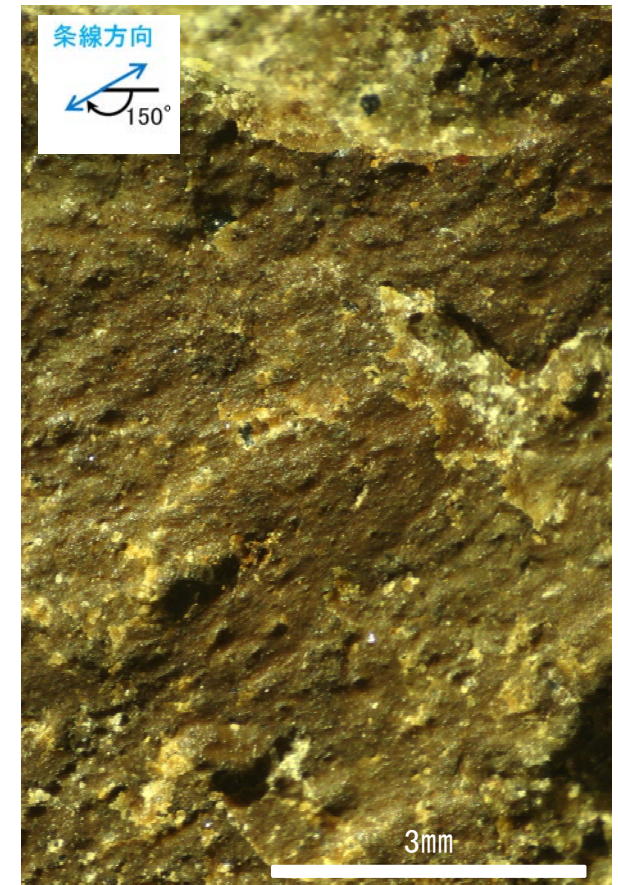
概念図
※走向は真北で示す。



観察面写真

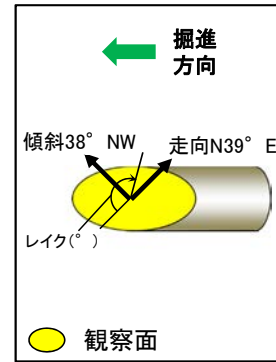


観察面拡大写真

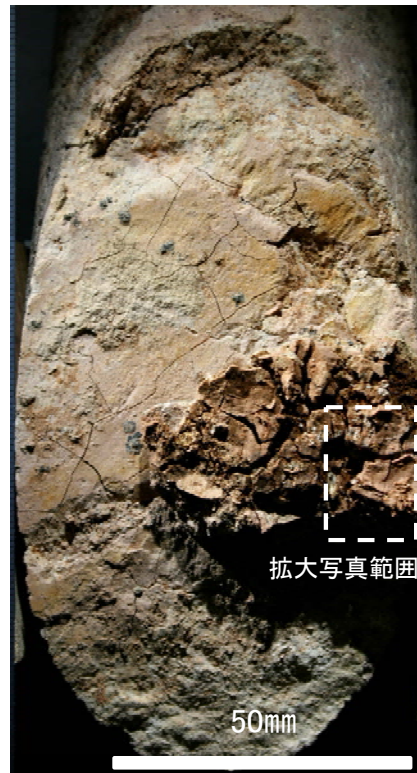


詳細観察写真

・条線のレイクは150° R, 変位センスは不明



概念図
※走向は真北で示す。



観察面写真

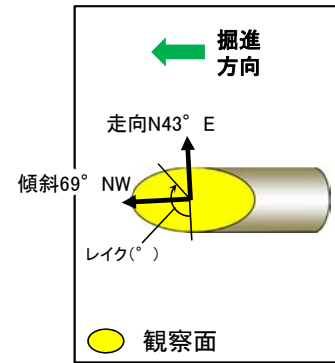


観察面拡大写真



詳細観察写真

・条線のレイクは150° R, 変位センスは不明



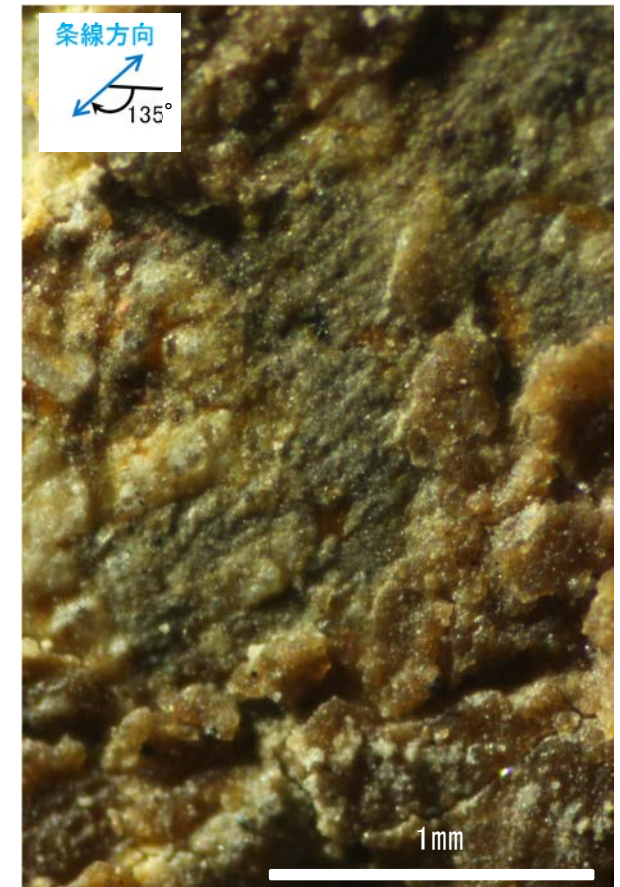
概念図
※走向は真北で示す。



観察面写真

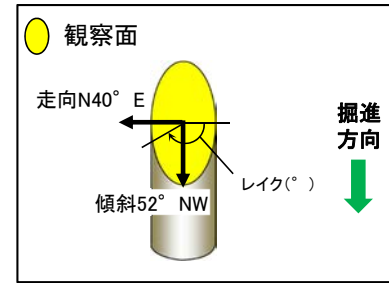


観察面拡大写真

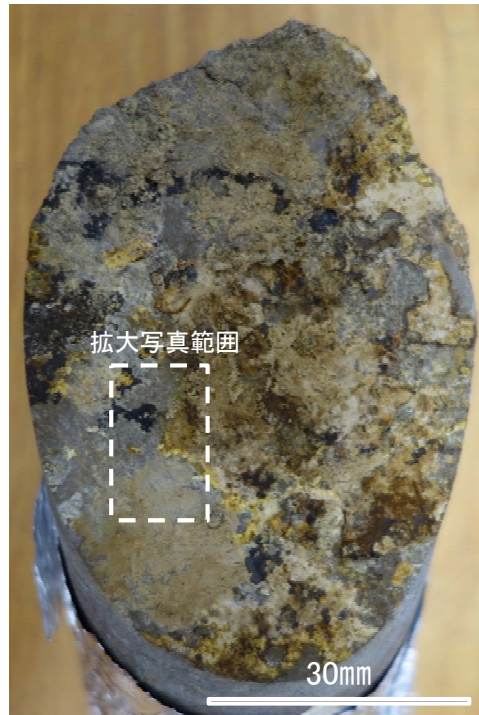


詳細観察写真

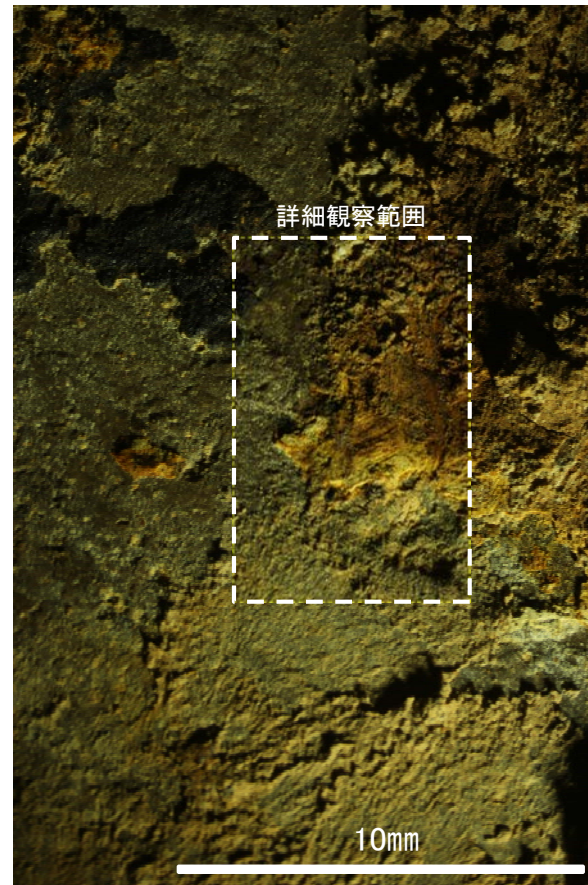
・条線のレイクは135° R, 変位センスは不明



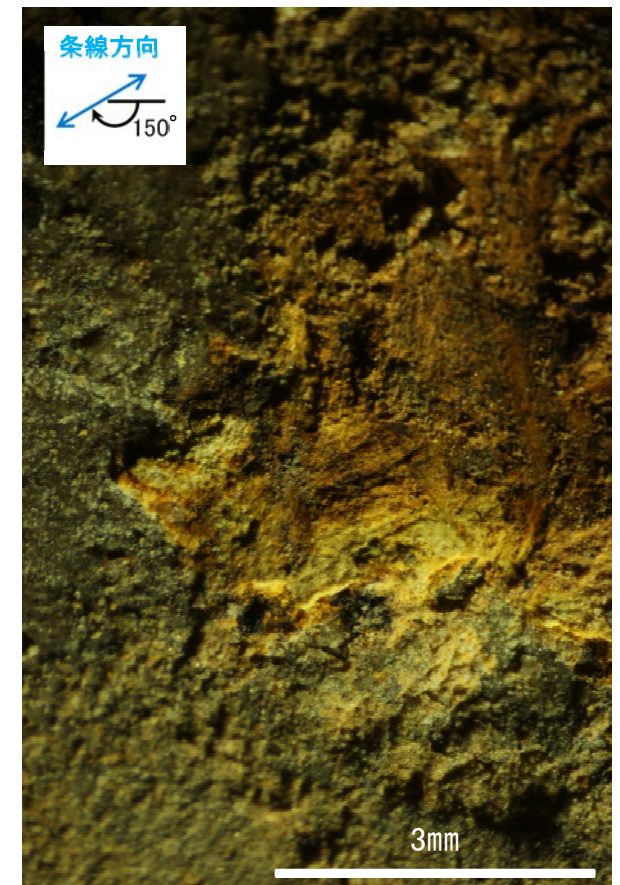
概念図
※走向は真北で示す。



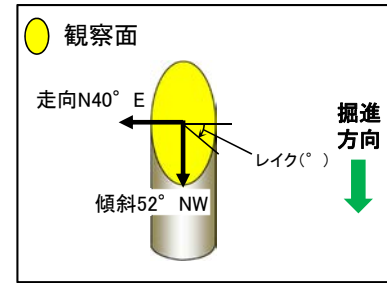
観察面写真



観察面拡大写真

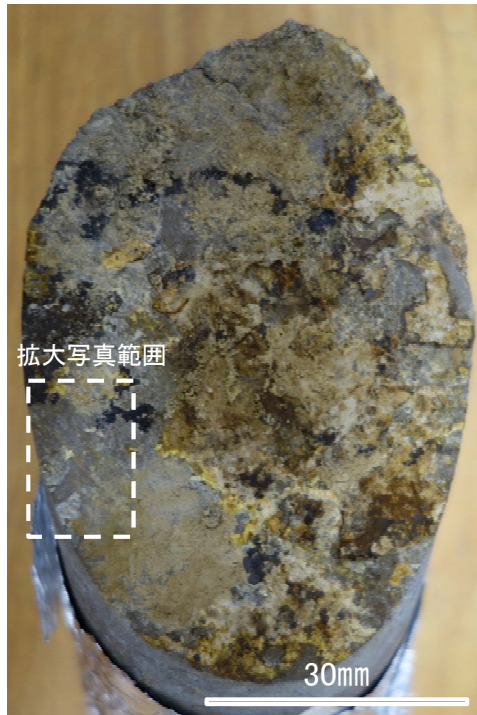


詳細観察写真

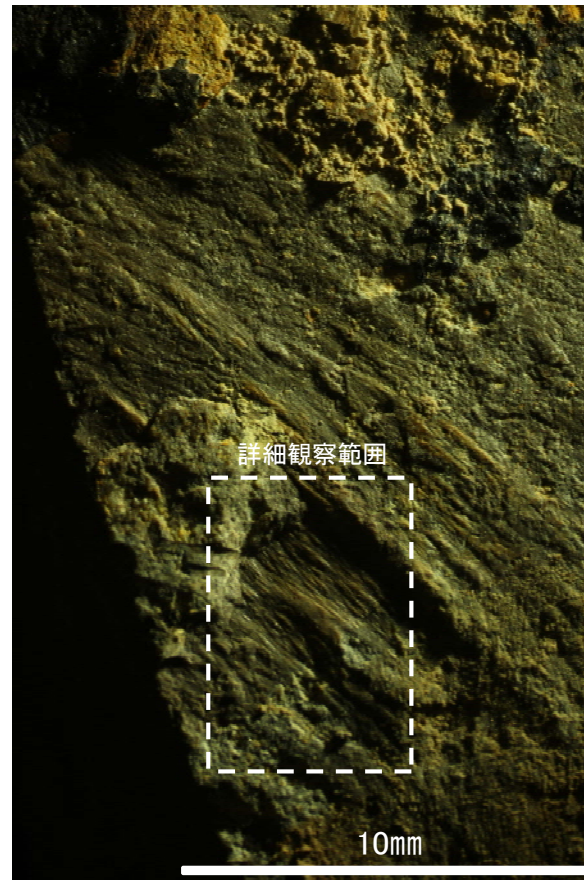


概念図

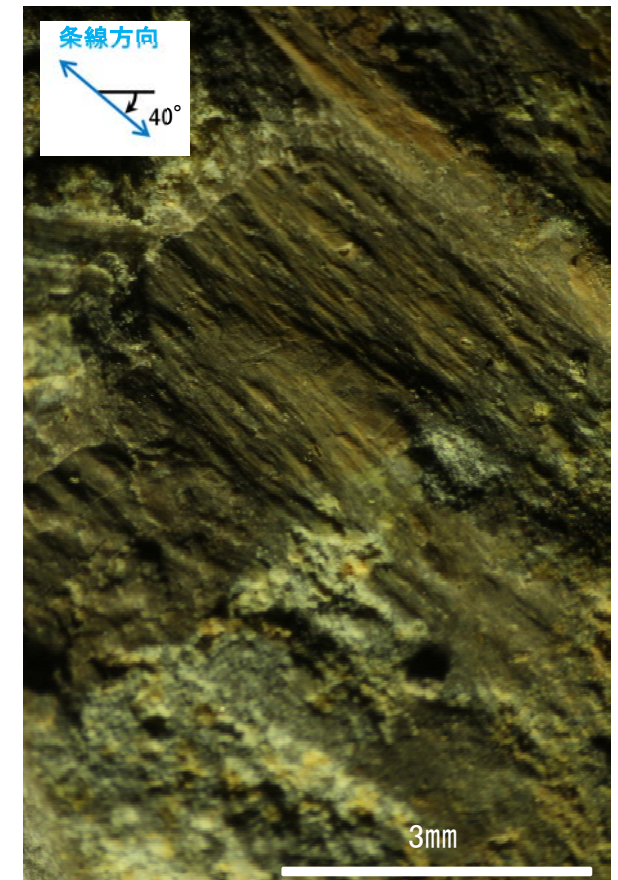
※走向は真北で示す。



観察面写真

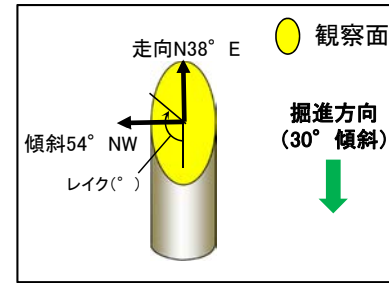


観察面拡大写真

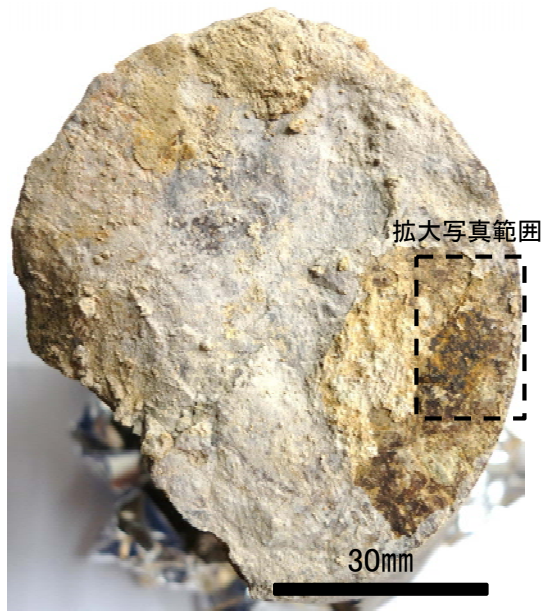


詳細観察写真

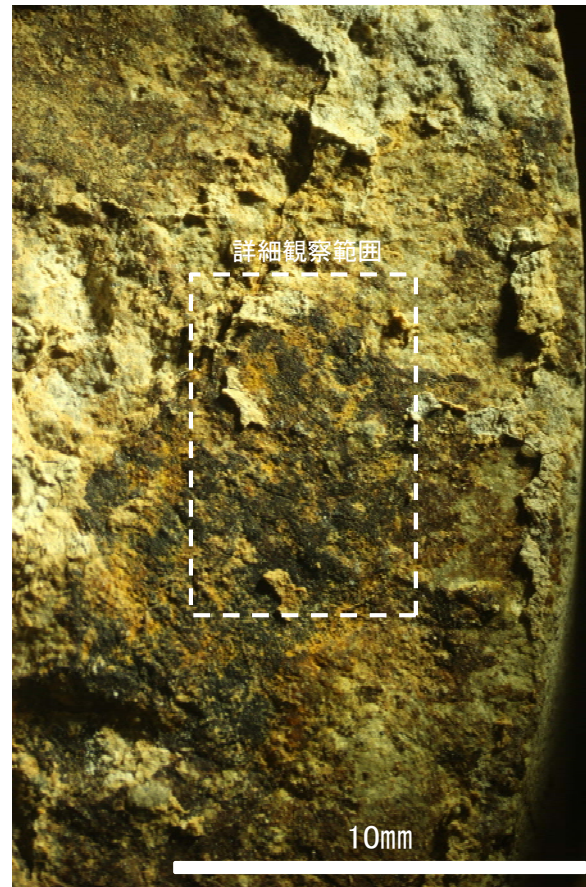
・条線のレイクは40° R, 変位センスは不明



概念図
※走向は真北で示す。



観察面写真

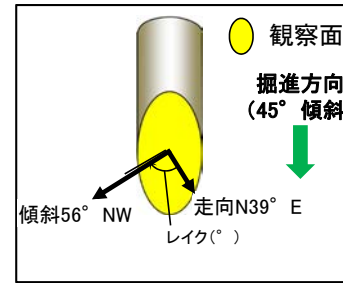


観察面拡大写真

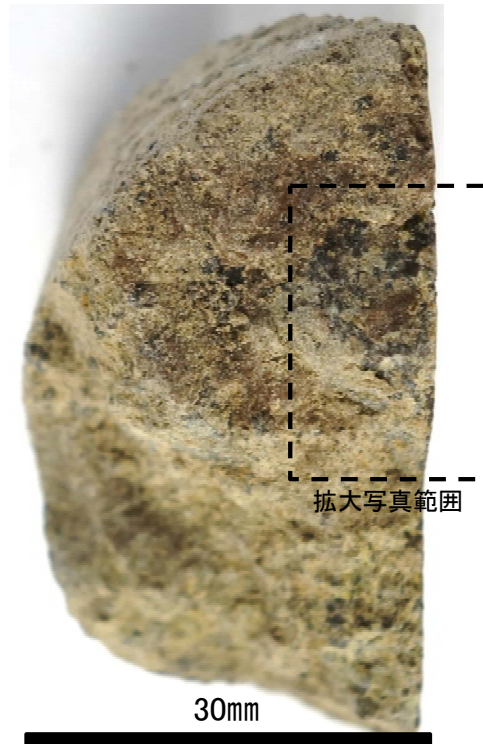


詳細観察写真

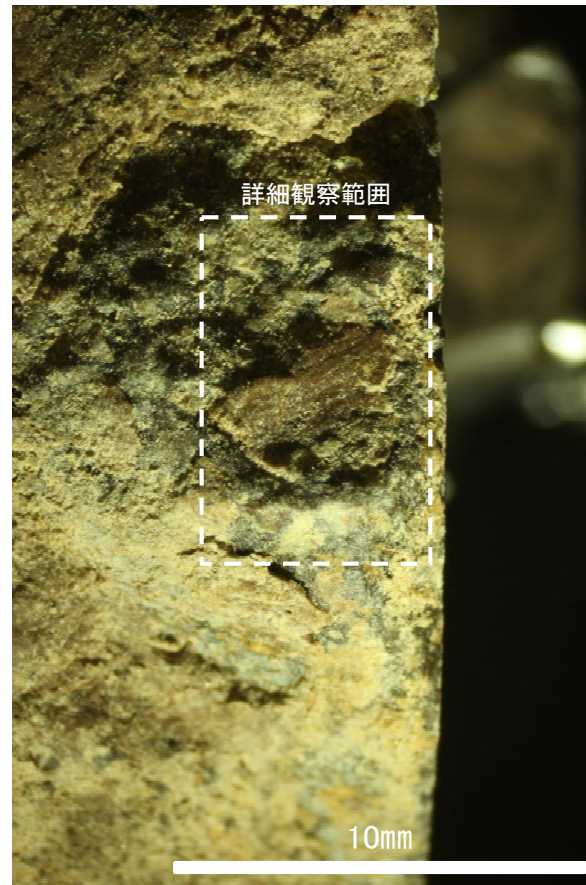
・条線のレイクは131° R, 変位センスは不明



概念図
※走向は真北で示す。



観察面写真



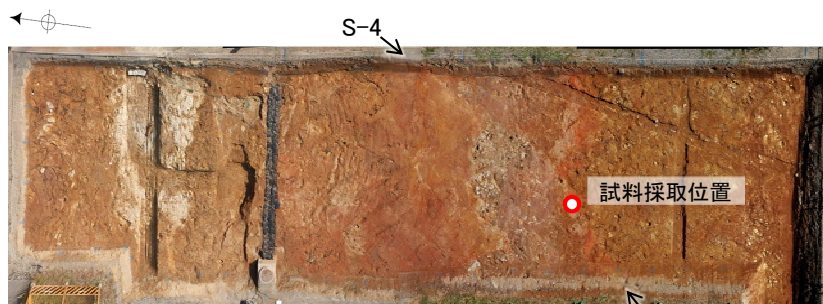
観察面拡大写真



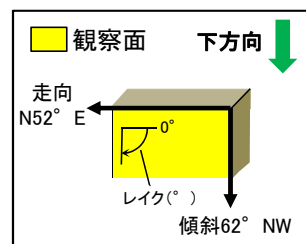
詳細観察写真

・条線のレイクは88° R(下盤側換算), 変位センスは不明

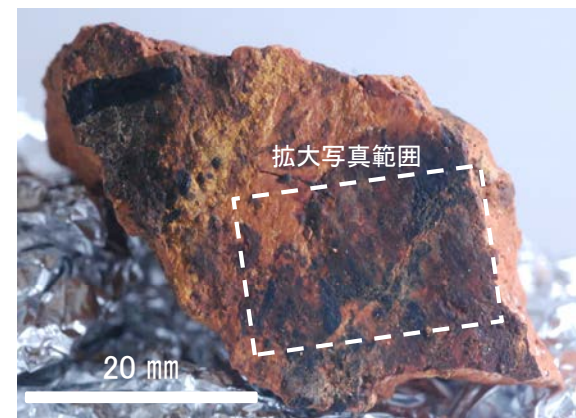
条線観察結果 35m盤トレンチ(A)底盤(下盤側)



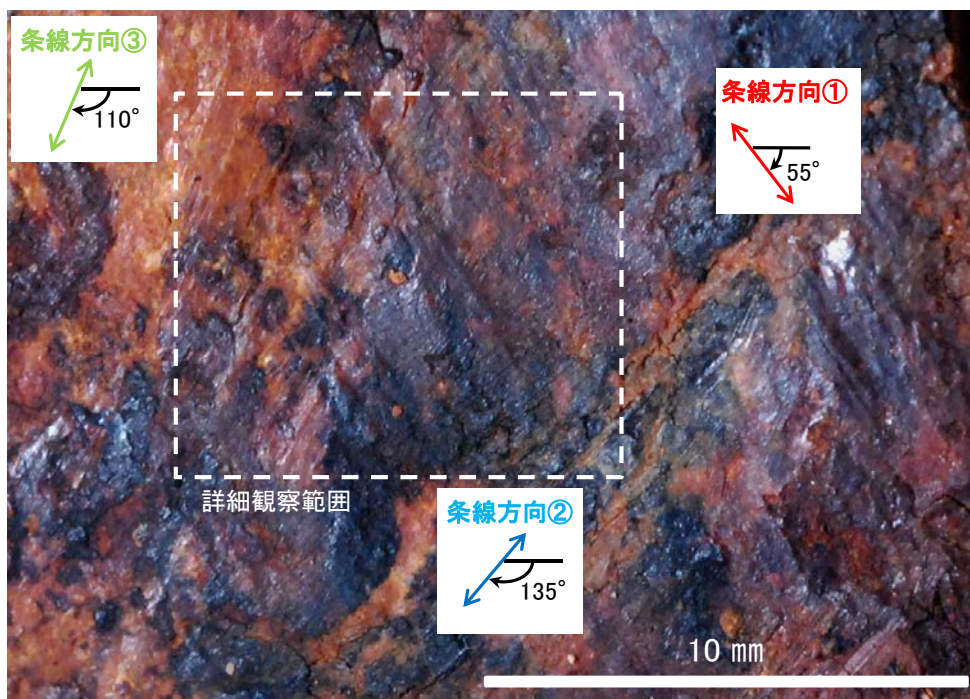
35m盤トレンチ(A) 底盤写真



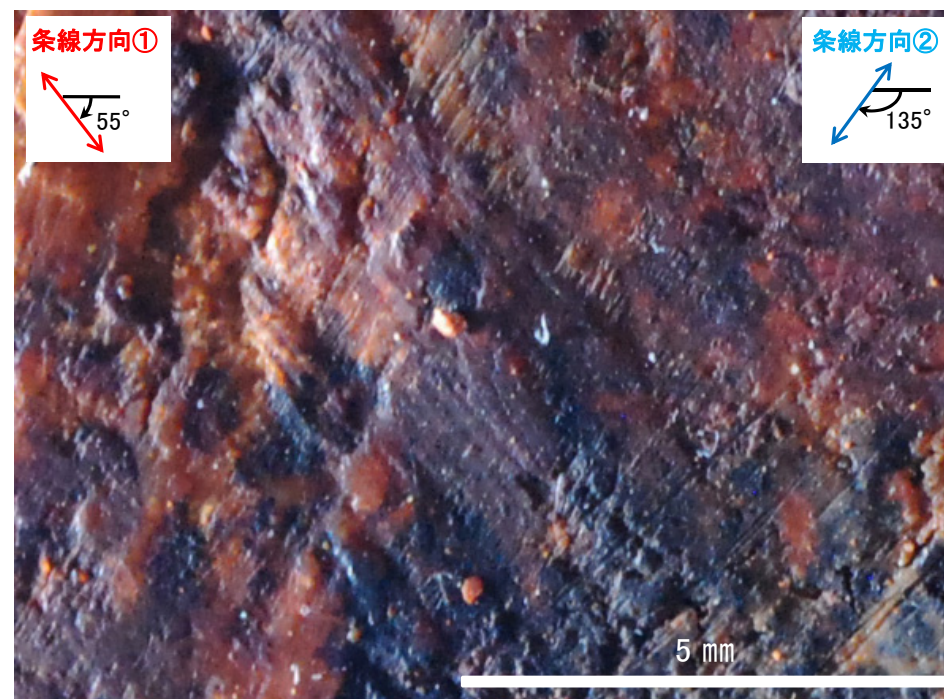
概念図
※走向は真北で示す。



観察面写真



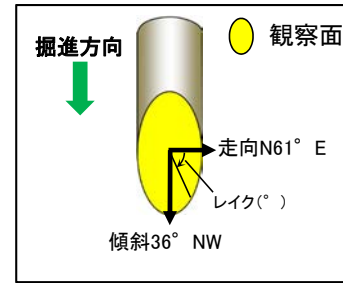
観察面拡大写真



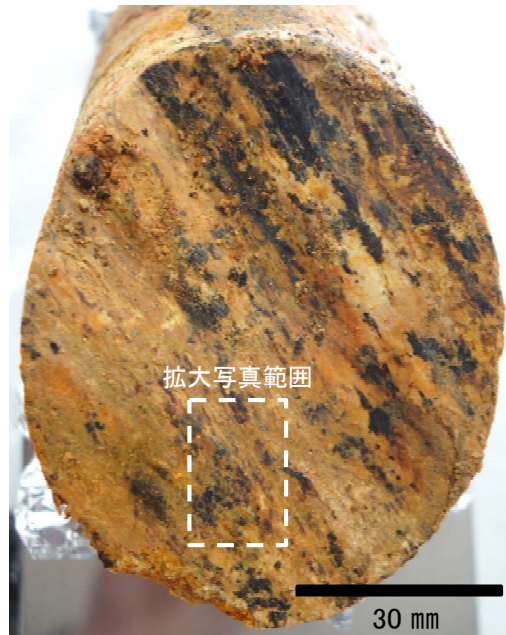
詳細観察写真

- ・条線方向: 3方向の条線が認められ, 条線①のレイクは55° R, 条線②のレイクは135° R, 条線③のレイクは110° R
- ・条線の新旧関係: 条線①を条線②が上書きしている
- ・変位センス: 条線②及び条線③の変位センスは不明

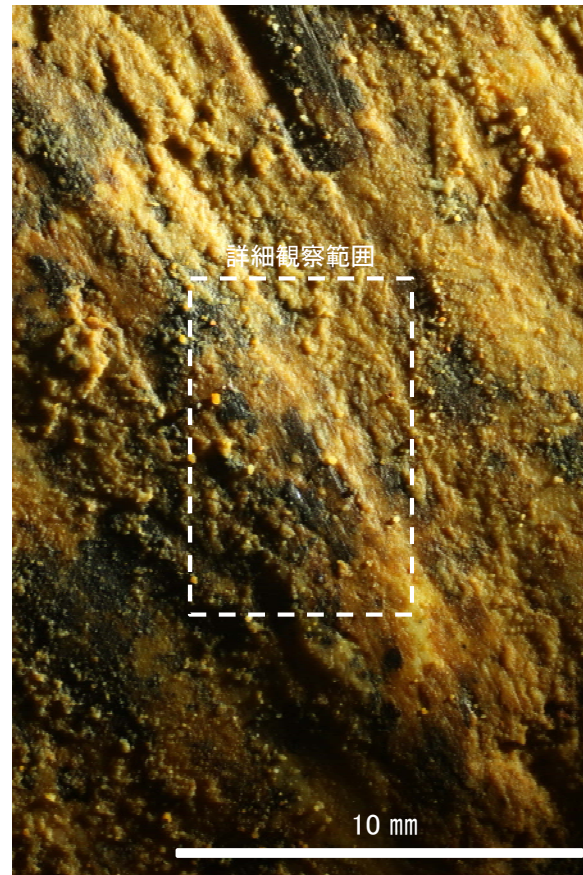
条線観察結果 ボーリングD-12.3[深度6.00m](上盤側)



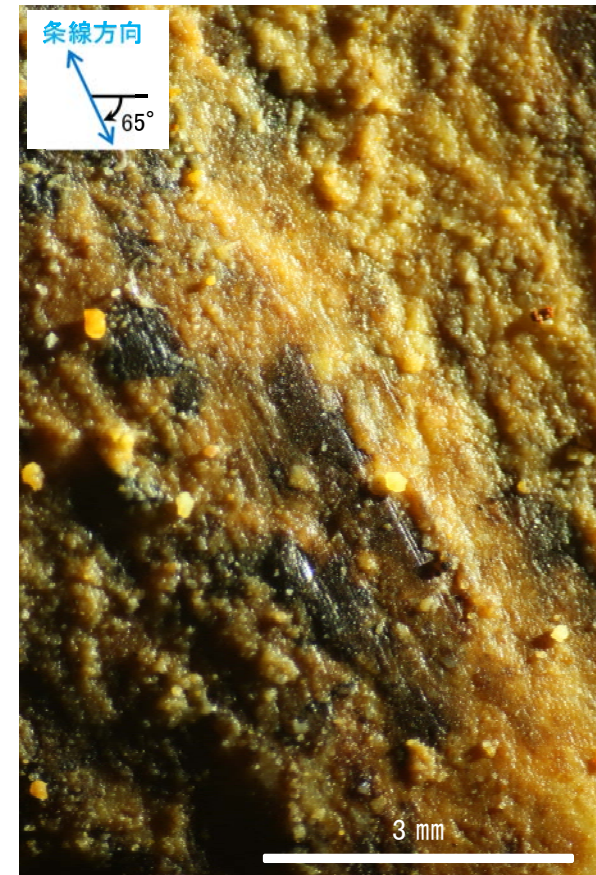
概念図
※走向は真北で示す。



観察面写真



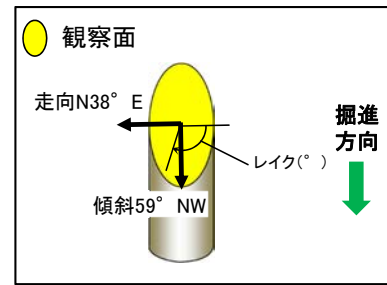
観察面拡大写真



詳細観察写真

・条線のレイクは 115° R(下盤側換算), 変位センスは不明

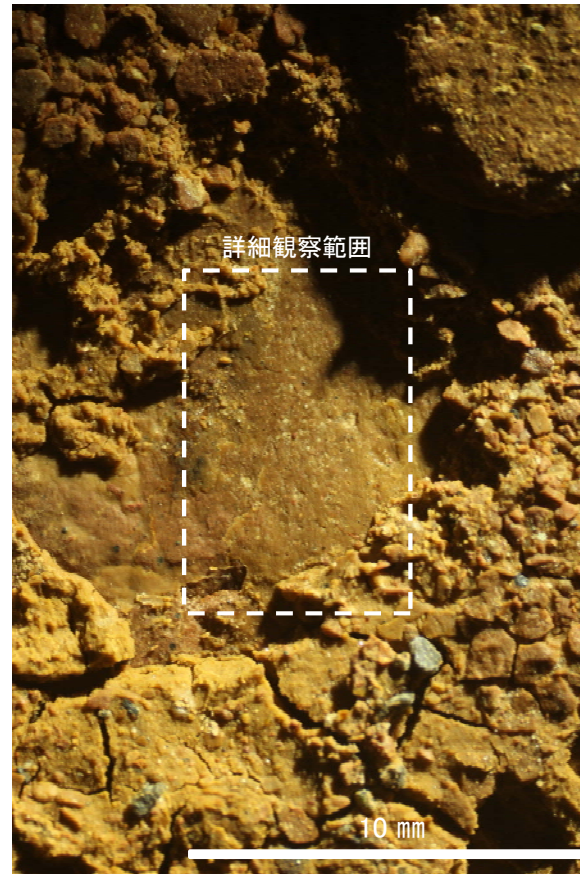
条線観察結果 ボーリングE-11.1SE[深度2.35m](下盤側①)



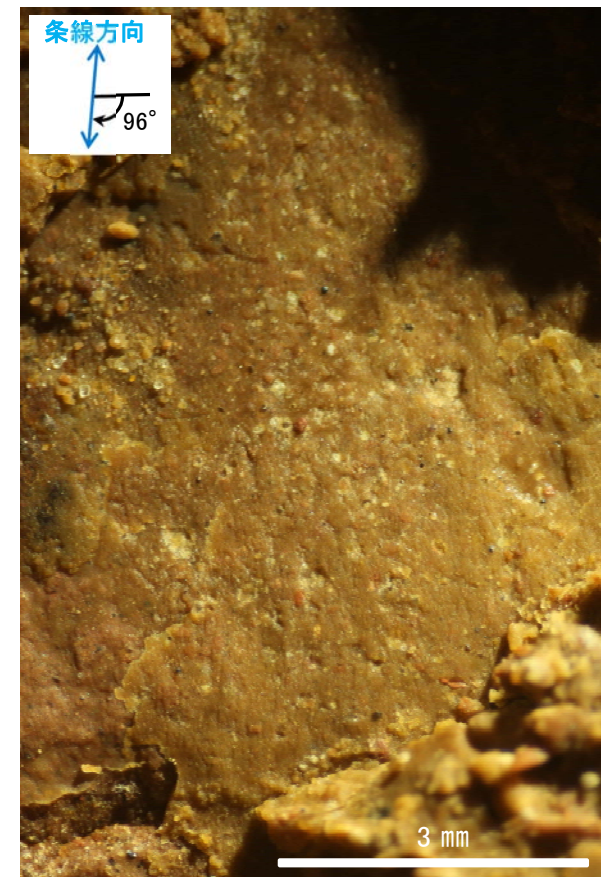
概念図
※走向は真北で示す。



観察面写真



観察面拡大写真



詳細観察写真

・条線のレイクは96° R, 変位センスは不明